

SUR UNE COLLECTION DE DÉCAPODES BRACHYOURES
(PORTUNIDAE ET XANTHIDAE) DE L'ILE MAYOTTE.
II. XANTHIDAE

Par Danièle GUINOT.

Carpilodes rugipes (Heller).

Fig. 11 a, b.

- Actaeodes rugipes* Heller, 1861 a, p. 9 ; 1861 b, p. 330, pl. 2, fig. 20 : Mer Rouge.
- Carpilodes rugipes*, A. MILNE EDWARDS, 1865, p. 229, pl. 12, fig. 4, 4 a 4 b : Mer Rouge.
- Actaea rugipes*, KOSSMANN, 1877, p. 24 : Mer Rouge.
- Carpilodes rugatus*, MIERS [nec *Zozymus rugatus* H. Milne Edwards, 1834], 1884, p. 529 : Seychelles.
- Carpilodes rugipes*, LENZ, 1905, p. 348 : Zanzibar. — NOBILI, 1906 a, p. 220 : Mer Rouge, Golfe d'Aden. — LENZ, 1910, p. 545 : Madagascar (Sainte-Marie) ; 1912, p. 3 : Mer Rouge (Tor). — ODHNER, 1925, p. 24, pl. 2, fig. 3 : Mer Rouge, Golfe de Suez.
- nec : *Carpiloxanthus rugipes*, HELLER, 1865, p. 17 (Tahiti) [= *Carpiloxanthus vaillantianus* A. Milne Edwards, 1862 = *Carpilodes bellus* (Dana, 1852)].
- *Phymodius rugipes*, MIERS, 1884, p. 531 (Seychelles) [= *Carpilodes monticulosus* A. Milne-Edwards, 1873].
- *Carpilodes rugipes*, RATHBUN, 1910, p. 351 (Golfe de Siam) [= *C. margaritatus* A. Milne-Edwards, 1873].
- *Carpilodes rugipes*, KLUNZINGER, 1913, p. 137 [41], pl. 5, fig. 4 (Mer Rouge) [= *C. ruber* A. Milne Edwards, 1865].

Matériel examiné. — 1 ♂ 12 × 7,3 mm.

Remarques. — Cette espèce qui n'avait pas encore été signalée des Comores est connue de Mer Rouge, du Golfe d'Aden, de la côte orientale d'Afrique, de Madagascar et des Seychelles.

Nous figurons le pl^1 du spécimen examiné : il présente, sur la surface exposée, dix longues soies plumeuses, à extrémité légèrement claviforme (fig. 11 a, 11 b). Le pl^1 ♂ d'un spécimen de cette espèce, récolté à Djibouti et signalé par Nobili en 1906, est exactement de même type : il montre le même nombre de soies et le lobe apical est long et effilé. Il se rapproche du pl^1 d'une autre espèce de *Carpilodes*, *C. margaritatus* A. Milne Edwards, figuré par Chopra et Das (1937, p. 396, fig. 5 : Archipel de Mergui), qui offre huit

longues soies plumeuses, relativement plus courtes, nettement claviformes et paraissant toutes insérées sur le bord ventral de la gouttière de l'appendice.

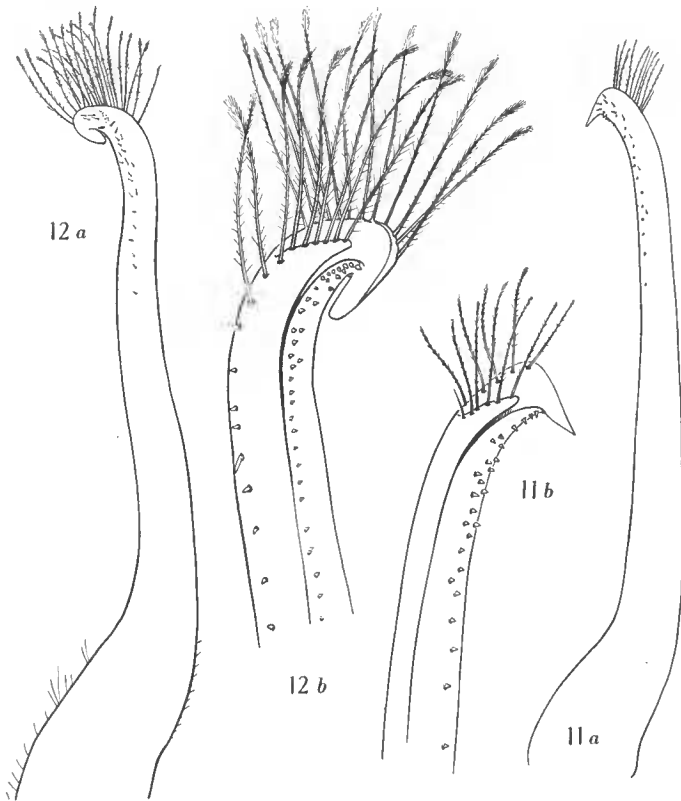


FIG. 11, 12. — Premier pléopode mâle.

FIG. 11. *Carpilodes rugipes* (Heller), $12 \times 7,3$ mm., Ile Mayotte : 11 a ($\times 27$) ; 11 b, extrémité grossie ($\times 45$). — FIG. 12. *C. tristis* Dana, 25×15 mm., Nouvelle-Calédonie : 12 a ($\times 23$) ; 12 b, extrémité grossie ($\times 45$).

Carpilodes tristis Dana.

Fig. 12 a, b.

Carpilodes tristis Dana, 1852 a, p. 77 ; 1852 b, p. 193, pl. 9, fig. 7 a-d : Archipel des Tuamotu.

? *Carpilodes granulatus* Heller, 1862, p. 520. — A. MILNE EDWARDS, 1865, p. 226, pl. 12, fig. 5 : Iles Nicobars, Tahiti.

Carpilodes tristis, HELLER, 1865, p. 17 : Tahiti. — A. MILNE EDWARDS, 1865, p. 225 : Archipel des Tuamotu ; 1873 a, p. 178 : Nouvelle-Calé-

donie. — HASWELL, 1882, p. 56 : Australie (Iles Holborn, Molle, Darnley). — MÜLLER, 1887, p. 474 : Trincomali. — de MAN, 1890, p. 50 : Tahiti. — HENDERSON, 1893, p. 353 : Muttuwartu Par. — ORTMANN, 1893, p. 467 : Singapour, « Sudsee »; 1894, p. 51 : Dar-es-Salam. — ALCOCK, 1898, p. 82 : Iles Andaman, Nicobars. — BORRADAILE, 1900, p. 585 : Rotuma. — de MAN, 1902, p. 577 : Ternate, Iles Fidji. — LENZ, 1905, p. 347 : Ile Aldabra. — RATHBUN, 1907, p. 37 : Tuamotu (Ile Fakarava); 1911, p. 211 : Salomon, Peros, Coin; Coctivy. — ODHNER, 1925, p. 12, pl. 1, fig. 1 : Indo-Pacifique. — WARD, 1932, p. 240 : Iles du Capricorne (Fairfax et Heron). — MIYAKE, 1939, p. 207 : Iles Marshall, Iles Gilbert.

Liomera tristis, BARNARD, 1950, p. 237.

Carpilodes tristis, TWEEDIE, 1950 *b*, p. 113 : Iles Cocos-Keeling.

nec : *Carpilodes tristis*, LENZ, 1910, p. 545 (Mozambique) [= *Lachnopus subacutus* (Stimpson, 1858)]¹.

Matériel examiné. — 1 ♀ 19,5 × 11,5 mm.

Remarques. — Il n'est pas étonnant de retrouver cette espèce à l'île Mayotte étant donné son abondance dans l'Indo-Pacifique : elle avait été signalée des Seychelles (Ile Aldabra).

Carpilodes granulatus Heller que figure A. MILNE EDWARDS (1865, pl. 12, fig. 5) et qui diffère de *C. tristis* seulement par la fine granulation de la caparace et des chélicères, est probablement, comme l'a supposé ODHNER (1925, p. 12), la même espèce que celle-ci. Nous n'avons pas trouvé trace du spécimen figuré par A. MILNE EDWARDS dans la collection du Muséum d'Histoire naturelle.

Nous figurons le *pl*¹ ♂ (fig. 12 *a*, 12 *b*) d'après des spécimens provenant de Nouvelle-Calédonie. Le nombre des longues soies claviformes dépasse vingt et le lobe apical, recourbé, présente une extrémité régulièrement arrondie.

Carpilodes caelatus Odhner.

Carpilodes sp., CALMAN, 1900, p. 4 : Détroit de Torrès (Ile Murray).

Carpilodes caelatus Odhner, 1925, p. 21, pl. 1, fig. 19, 19 *a* : Iles Kei, Amboine, Mer de Chine, Iles Sulu, Iles Bonin.

Carpilodes caelatus, SAKAI, 1939, p. 475. — TWEEDIE, 1950 *b*, p. 113 : Iles Cocos-Keeling.

Matériel examiné. — 1 ♀ 8 × 5 mm.

Remarques. — Ce spécimen ressemble à celui décrit et figuré par ODHNER, excepté en ce qui concerne l'aire protogastrique :

1. ODHNER (1925, pp. 12, 82) propose la synonymie *Xantho bidentatus* A. Milne Edwards 1867 = *Lachnopus subacutus* (Stimpson 1858). Après examen du type de *X. bidentatus*, nous pensons que les deux espèces sont distinctes, celle de Milne Edwards devant cependant être rattachée au genre *Lachnopus*. Nous reviendrons sur cette question au cours de l'étude (en collaboration avec J. FOREST) des Brachyours recueillis à Tahiti et aux Tuamotu par G. RANSON.

en effet, comme l'indique d'ailleurs la clef d'ODHNER (1925, pp. 9-12) et comme l'a remarqué TWEEDIE (*loc. cit.*, p. 113), 2 M est divisé en deux lobes.

Cette espèce était à ce jour connue seulement du Pacifique occidental et du nord-est de l'Océan Indien : sa capture à l'île Mayotte agrandit considérablement son aire de répartition. Elle y a vraisemblablement été recueillie sur le récif, comme les autres espèces de *Carpilodes* ; l'exemplaire de *C. caelatus* signalé par TWEEDIE également, mais les spécimens signalés antérieurement ont été trouvés en eau plus profonde d'où cette hypothèse d'ODHNER (1925, p. 22) : « Keine Riff-Form, sondern in einiger Tiefe lebend. »

Actaea cavipes (Dana).

Fig. 13 a, b.

Actaeodes cavipes Dana, 1852 a, p. 78 ; 1852 b, p. 199, pl. 11, fig. 5 a-b.
Actaea cavipes, ALCOCK, 1898, p. 147. — ODHNER, 1925, p. 68. — SAKAI, 1939, p. 492, pl. 92, fig. 7. — MIYAKE, 1939, p. 211. — STEPHENSEN, 1945, p. 151. — TWEEDIE, 1947, pp. 27, 29 ; 1950 a, p. 86 ; 1950 b, p. 118 ; BARNARD, 1950, p. 229.

Matériel examiné. — 1 ♀ 13 × 8,6 mm.

Remarques. — Nous figurons le pl¹ ♂ d'un spécimen d'*A. cavipes* déterminé par BALSS et provenant de Tamatave (fig. 13 a, 13 b). ODHNER (1925, p. 69) avait déjà signalé cette espèce de l'île Mayotte.

Actaea tomentosa (H. Milne Edwards).

Zozymus tomentosus H. Milne Edwards, 1834, p. 385.

Actaea tomentosa, ALCOCK, 1898, p. 140. — ODHNER, 1925, p. 70. — MIYAKE, 1939, p. 183, pl. 13, fig. 6, fig. texte 8 ; p. 212 ; 1940 b, p. 25. — SAKAI, 1939, p. 487, pl. 93, fig. 8. — WARD, 1941, p. 2. — TWEEDIE, 1947, p. 27. — BARNARD, 1950, p. 233, fig. 43, e, f.

Matériel examiné. — 1 ♀ 17 × 11 mm.

Actaea polyacantha (Heller).

Fig. 14 a, b.

Chlorodius polyacanthus Heller, 1861 a, p. 11 ; 1861 b, p. 339, pl. 3, fig. 21 : Mer Rouge.

Pitodius fragifer, PAULSON, 1875, p. 31, pl. 6, fig. 2 : Mer Rouge (*nec* : *Chlorodius fragifer* Adams et White, 1848).

Actaea polyacantha, ORTMANN, 1893, p. 455. — NOBILI, 1906 a, p. 259.: Mer Rouge, Djibouti. — RATUBUN, 1911, p. 222, pl. 18, fig. 5, 6 : Salomon, Coetivy.

Actæodius fragifer, KLUNZINGER, 1913, p. 232 [136], pl. 1, fig. 10 : Mer Rouge.

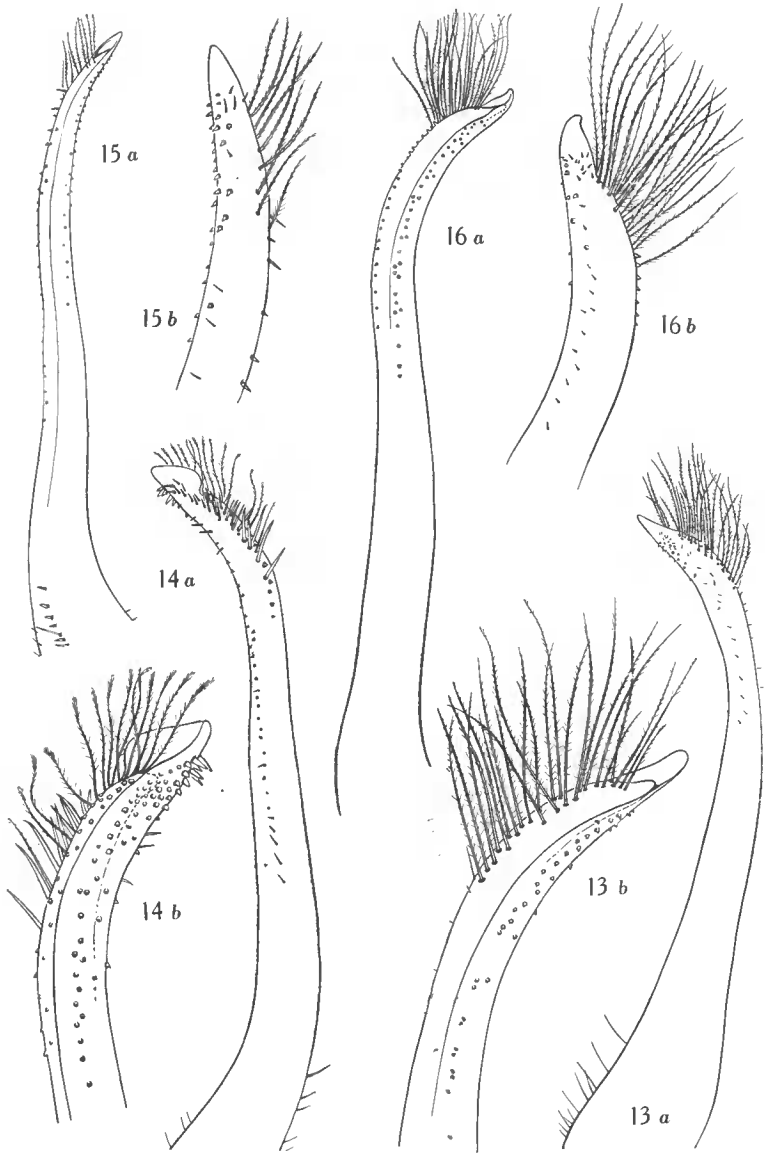


FIG. 13, 16. — Premier pléopode mâle.

Fig. 13. *Actaea cavipes* (Dana), 17 × 10 mm., Tamatave : 13 a (× 25) ; 13 b, extrémité grossie (× 45). — Fig. 14. *A. polyacantha* (Heller), 11 × 8 mm., Djibouti : 14 a (× 23) ; 14 b, extrémité grossie (× 45). — Fig. 15. *A. margaritifera* Odhner, Nobili det. *A. nodulosa* White, 13 × 9 mm., Djibouti : 15 a (× 25) ; 15 b, extrémité grossie (× 58). — Fig. 16. *A. nodulosa* White, 17,5 × 11 mm., Ile Aldabra : 16 a (× 23) ; 16 b, extrémité grossie (× 45).

Actaea polyacantha, ODHNER, 1925, p. 57 : Djibouti, Zanzibar, Mer de Chine, Australie (Ile Baudin), Nouvelle-Angleterre, Iles Marshall, Iles Gilbert, Iles Fidji, Samoa. — WARD, 1932, p. 247 : Iles du Capricorne (Ile North West). — BALSS, 1934, p. 514 : Tamatave. — SAKAI, 1939, p. 486, pl. 94, fig. 23 : Japon. — MIYAKE, 1939, p. 212.

Matériel examiné. — 1 ♀ 6 × 4 mm.

Remarques. — Le pl¹ ♂ d'*A. polyacantha* représenté ici (fig. 14 a, 14 b) est celui d'un spécimen de Djibouti déterminé par NOBILI : il se caractérise par un lobe distal court, élargi et tronqué. Il se différencie ainsi de celui qui a été figuré pour certaines espèces, également indo-pacifiques, d'*Actaea* dont le lobe distal est allongé et effilé. Ces espèces sont les suivantes — nous renvoyons aux auteurs qui ont figuré cet appendice — : *Actaea areolata* Dana in CHOPRA et DAS, 1937, fig. 6 ; *A. calculosa* (H. Milne Edwards), *ibid.*, fig. 7 ; *A. tomentosa* (H. Milne Edwards) in MIYAKE, 1939, fig. 8 et BARNARD, 1950, fig. 43, f ; *A. savignyi* (H. Milne Edwards) in SAKAI, 1939, fig. 37, STEPHENSEN, 1945, fig. 38 C et BARNARD, 1950, fig. 43, c ; *A. parvula* (Krauss) in BARNARD, 1950, fig. 43, h ; *A. rüppellii* (Krauss), *ibid.*, fig. 43, i.

Le pl¹ ♂ d'*A. polyacantha* diffère également par les mêmes caractères de ceux des trois autres espèces figurés ici : *A. cavipes* (Dana) (fig. 13 a, 13 b), *A. margaritifera* Odhner (fig. 15 a, 15 b) et *A. nodulosa* White (fig. 16 a, 16 b).

Actaea margaritifera Odhner.

Fig. 15 a, b, 17.

Actaea nodulosa, HENDERSON (*nec* White, 1847), 1893, p. 356 : Golfe de Manaar (Tuticorin). — ALCOCK, 1898, p. 148 : Côte de Malabar, Golfe Persique, Iles Andaman. — ? LANCHESTER, 1900, p. 733 : Singapour. — NOBILI, 1906 a, p. 257, pl. 10, fig. 2 : Aden. — RATHBUN, 1910, p. 350 : Golfe de Siam.

Actaea margaritifera Odhner, 1925, p. 48, pl. 3, fig. 10 : Karachi, Ceylan (Trincomali), Iles Kei. — ? STEPHENSEN, 1945, p. 152 : Golfe Persique.

Matériel examiné. — 1 ♂ juv. 6,2 × 4,5 mm.

Remarques. — En 1925, T. ODHNER a décrit une nouvelle espèce d'*Actaea*, *A. margaritifera* à laquelle il a rapporté l'*A. nodulosa* de quelques auteurs (*nec* White, 1847). Le type d'*A. margaritifera* est l'*A. nodulosa* déterminé par NOBILI (1906 a, p. 257), qui a pour provenance Aden (JOUSSEAUME coll.) : il s'agit d'une femelle de 22,5 × 16 mm conservée au Muséum d'Histoire naturelle. Le second spécimen femelle d'Aden cité par NOBILI n'est pas dans nos collections, mais nous avons trouvé le spécimen de

Djibouti (COUTIÈRE coll.), signalé en même temps et également déterminé *A. nodulosa* : il s'agit d'un mâle — et non d'une femelle comme le note NOBILI — de 13×9 mm ; ODHNER ne semble pas l'avoir examiné et ne le mentionne pas. Nous avons donc pu comparer le petit échantillon de l'île Mayotte à deux exemplaires d'*A. margaritifera* dont le type. Nous l'avons d'autre part comparé à trois exemplaires d'*A. nodulosa* White, 1847 (= *A. pisigera* Nobili, 1905 ; 1906 a, p. 259, pl. 10, fig. 1) récoltés par la Calypso à l'île Aldabra.

Les trois spécimens d'*A. margaritifera* que nous avons examinés sont de tailles bien différentes ; nous rappelons ici les caractères essentiels de cette espèce :

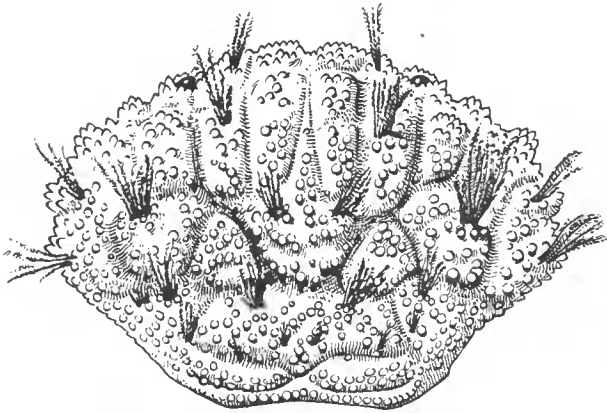


FIG. 17. — *Actaea margaritifera* Odhner (Nobili det. 1906, *A. nodulosa* White), ♂ 13×9 mm., Djibouti, Coutière coll. ($\times 1,6$).

Rapport largeur-longueur de la carapace chez l'adulte égal à 1,45 environ. Face dorsale subdivisée en nombreux lobules par des sillons profonds et lisses (fig. 17) ; lobules irrégulièrement surmontés de tubercules perli-formes peu nombreux et espacés, en particulier sur la région postérieure de la carapace. Aréole 3 M tripartite ; 2 M, bipartite, avec le lobe interne nettement plus étroit que l'externe — ceci est surtout visible chez le plus grand spécimen, le type, comme l'indique la figure d'ODHNER (*loc. cit.*, pl. 3, fig. 10) — et peu séparé de 1 M ; aréoles postfrontales bien séparées. 6 L, 5 L, 2 L nettement séparées ainsi que les aréoles qui longent le bord antéro-latéral : 1 L, 3 L, 4 L, et le bord postéro-latéral : 1 R et 2 R. Aire cardiaque non divisée ; aire intestinale formée de deux bandes parallèles de granules dont l'antérieure, formée de 2-3 rangées, est interrompue en son milieu. Surface de la carapace avec des touffes de très longs poils disposées symétriquement sur les régions suivantes : sur le bord supra-orbitaire interne, sur le lobe externe de 2 M, sur 5 L, 4 L, 1 R, sur 3 M (de part et d'autre), sur 3 R, sur 1 P (de

part et d'autre) ; enfin, sur la partie postérieure de la région cardiaque et sur 3 R, de chaque côté, trois touffes plus petites.

Sur le bord antéro-latéral, quatre lobes saillants, formés par le rapprochement de plusieurs tubercules.

Front quadrilobé, les deux lobes internes beaucoup plus proéminents que les externes ; échancrure médiane profonde, triangulaire.

Face inférieure et sternum granuleux.

Chélicépèdes recouverts de granules perliformes, saillants, devenant pointus sur la face supérieure du carpe et du propode. Des poils analogues à ceux de la carapace sur la face supérieure de la pince.

Pattes ambulatoires couvertes de tubercules arrondis ou un peu pointus ; sur le bord supérieur ces tubercules deviennent aigus, presque spiniformes ; tous les articles frangés de longs poils, en particulier le bord supérieur ; des poils analogues, moins touffus, sur la face externe du carpe (l'extrémité distale surtout) et le propode.

*Pl*¹ ♂ figuré : fig. 15 *a*, 15 *b*.

L'*A. nodulosa* White, 1847 (cf. ODHNER, 1925, p. 56, pl. 3, fig. 20), avec laquelle *A. margaritifera* a été confondue par quelques auteurs, se distingue de celle-ci par le céphalothorax plus large, la face dorsale subdivisée en un plus petit nombre de lobules (en particulier 2 M et les lobules latéraux ne sont pas divisés) et couverte de granulations plus nombreuses et moruliformes, par l'absence des touffes de longs poils caractéristiques d'*A. margaritifera*, par le sternum et l'abdomen creusés de profondes dépressions et érodés ; enfin l'ornementation des appendices thoraciques consiste en granulations inoruliformes et pisiformes (cf. NOBILI, 1906 *a*, p. 259 : *Actaea pisi-gera*), et le bord supérieur des pattes ambulatoires est armé de tubercules pédonculés et bolétiiformes, au lieu des dents spiniformes observées chez *A. margaritifera*. Nous figurons le *pl*¹ d'un spécimen mâle d'*A. nodulosa* White provenant de l'île Aldabra (G. CHERBONNIER coll.) et mesurant 17,5 × 11 mm (fig. 16 *a*, 16 *b*).

La distribution géographique d'*A. margaritifera* s'établit actuellement comme suit : îles Kei, Golfe de Siam, Andaman, Ceylan, Indes (Tuticorin et côte ouest), Karachi, Golfe Persique, Aden, Comores (île Mayotte)¹.

Neoliomera sabaea (Nobili).

Actaea sabaea Nobili, 1905, p. 403 ; 1906 *a*, p. 254, pl. 10, fig. 3 : Perim, Djibouti.

Actaea sabaea, KLUNZINGER, 1913, p. 192 [96].

Neoliomera sabaea, ODHNER, 1925, p. 31, pl. 2, fig. 11 : Djibouti, Durban.

1. D'après ODHNER (*loc. cit.*, pp. 48-49), les spécimens qu'il cite de Singapour et l'*A. aff. hystrix* Calman (1900, p. 11) du Détroit de Torrès seraient *A. margaritifera* var. *bullifera* (Alcock, 1898, p. 149 ; *Illustr. Invest.*, 1889, pl. 37, fig. 2).

Moluques. — BALSS, 1934, p. 514 : Madagascar (Tamatave), Ceylan.
— BARNARD, 1950, p. 241, fig. 37, c. — TWEEDIE, 1950 a, p. 91 (clef).

Matériel examiné. — 1 ♀ 16 × 10 mm.

Remarques. — Aucun premier pléopode ♂ de *Neoliomera* n'a encore été représenté, à notre connaissance. Nous figurerons celui de *N. sabaea* ainsi que celui du type de plusieurs autres espèces du genre dans l'étude de la collection RANSON, annoncée plus haut.

Xantho (Leptodius) exaratus (H. Milne Edwards).

- Chlorodius exaratus* H. Milne Edwards, 1834, p. 402 ; 1849, pl. 11, fig. 3.
Xantho (Leptodius) exaratus, ALCOCK, 1898, p. 118 (*ubi litt. et syn.*).
Leptodius exaratus, BOUVIER, 1915, p. 107 (*pro parte* : les spécimens des « Récifs de Grand Port »). — BALSS, 1922, p. 127 (*ubi litt.*).
Xanto (= Leptodius) exaratus, GORDON, 1931, pp. 543-545, fig. 20, 22 B.
Leptodius exaratus, SHEN, 1932, pp. 99, 100, fig. 57, 58 c, d. — YOKOYA, 1933, p. 189. — BOONE, 1934, p. 110, fig. 58 (répartition géographique). — CHOPRA et DAS, 1937, p. 398.
Xantho exaratus, MONOD, 1938, p. 125, fig. 17 B.
Xantho (Leptodius) exaratus, BALSS, 1938, p. 41. — SAKAI, 1939, p. 465, pl. 58, fig. 3, pl. 91, fig. 1. — MIYAKE, 1939, p. 209 ; 1940 b, p. 25.
Xantho (= Leptodius) exaratus, STEPHENSEN, 1945, p. 149, fig. 37 C.
Xantho (Leptodius) hydrophilus, BARNARD, 1950, p. 223, fig. 41, c, 42, c-e ; 1955, p. 3.

Matériel examiné. — 1 ♂ 19 × 13 mm, 1 ♀ 9 × 6,4 mm.

Remarques. — Le pl^1 du spécimen mâle de l'île Mayotte correspond bien à celui qu'ont figuré I. GORDON en 1931 (fig. 22 B), SHEN en 1932 (fig. 58 c), MONOD en 1938 (fig. 17 B) et STEPHENSEN en 1945 (fig. 37 C). BARNARD (1950, fig. 42, d) figure également le pl^1 ♂ de cette espèce qu'il désigne sous le nom d'*hydrophilus* Herbst.

BOUVIER a signalé en 1915 (pp. 107, 108) *Leptodius exaratus* de l'île Maurice, représenté là, d'une part par « cinq jeunes à test très rugueux et pour la plupart à pinces épineuses » dont la provenance est « Le Chaland », d'autre part par plusieurs exemplaires de grande taille des « Récifs de Grand Port ». Ces derniers sont bien des *X. exaratus* ; quant aux cinq autres petits échantillons, que nous avons également examinés, ils appartiennent non pas au genre *Xantho (Leptodius)*, mais au genre *Phymodius* : il s'agit vraisemblablement de *Ph. ornatus* (Dana). Le tube qui porte l'étiquette « Le Chaland, Bouvier det. », contient, outre ces cinq spécimens, un sixième spécimen de petite taille, qui nous paraît être un *Chlorodopsis*. L'identification des cinq jeunes spécimens de *Phymodius*

(? *ornatus*) à l'espèce *X. exaratus* avait amené BOUVIER à attribuer aux chélicèdes de cette espèce une armature épineuse : en réalité, tous les jeunes de *X. exaratus* que nous avons observés, offrent des chélicèdes lisses ou seulement finement granuleux.

Phymodius monticulosus (Dana).

Chlorodius monticulosus Dana, 1852 a, p. 79; 1852 b, p. 206, pl. 11, fig. 9 a-f.

Phymodius monticulosus, ALCOCK, 1898, p. 163 (*ubi litt. et syn.*). — GORDON, 1934, p. 34, fig. 17 a, a 1, 18 a, 19 a (révision). — MIYAKE, 1939, p. 214. — BARNARD, 1950, p. 217, fig. 40, a-h; 1955, p. 3. — TWEEDIE, 1950 b, p. 122.

Matériel examiné. — 1 ♀ ovigère 13 × 9,5 mm.

Hypocolpus divarticulatus (Strahl).

Melissa divarticulata Strahl, 1861, pp. 101-103, *nom. nov. pro Cancer exsculptus*, SAVIGNY, 1809, pl. 6, fig. 3, 1-4 [*nec C. exsculptus* Herbst, 1790 = *Euxanthus exsculptus* (Herbst)].

La synonymie et les remarques relatives à cette espèce seront publiées en 1958 dans une révision des genres *Euxanthus* Dana et *Hypocolpus* Rathbun.

Matériel examiné. — 1 ♂ 26 × 19 mm.

(*A suivre*).

Laboratoire de Zoologie du Muséum.